

2025 年（令和 7 年）の 世界の主な異常気象・気象災害（速報）

- 世界各地で異常高温が発生し、各国の月平均気温や季節平均気温の記録更新が伝えられました。
- ネパール～パキスタンの大雨（⑤、6～10月）、米国テキサス州の大雨（⑫、7月）、東南アジアを中心とした地域での大雨（③、11月）など、世界各地で気象災害が発生しました。

以下に、比較的大きな規模の「異常気象」及び気象が原因となって生じた大きな災害（気象災害）のおおよその地域・時期を示します。表中の番号は図中の番号に対応しています。

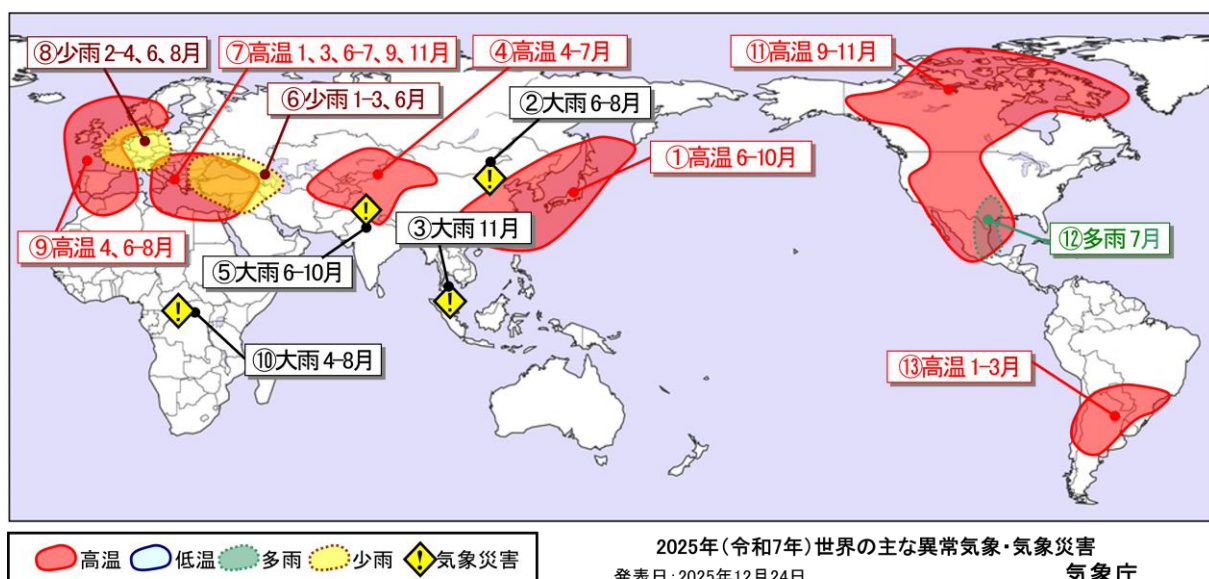


図 2025 年(令和 7 年)の異常気象・気象災害発生地域分布図

表 2025年(令和7年)の世界の主な異常気象・気象災害の概要

異常気象の種類 (発生月)	地域	概況
① 高温(6~10月)	東アジア東部	<ul style="list-style-type: none"> ・北海道の札幌：6~8月の3か月平均気温23.7°C（平年差+3.5°C）。 ・沖縄県の那覇：9月の月平均気温29.7°C（平年差+1.8°C）。 ・中国のシャンハイ（上海）市シャンハイ（上海）：10月の月平均気温22.3°C（平年差+2.6°C）。 ・日本の月平均気温は、6、7月としては1898年以降で最も高かった（気象庁）。 ・韓国の月平均気温は、6、10月としては1973年以降で最も高かった（韓国気象局）。 ・中国の月平均気温は、6、7月としては1961年以降で最も高かった（中国気象局）。 ・香港の月平均気温は、10月としては1884年以降で最も高かった（香港天文台）。 ・日本の夏（6~8月）の3か月平均気温は、夏としては1898年以降で最も高かった（気象庁）。 ・韓国の夏（6~8月）の3か月平均気温は、夏としては1973年以降で最も高かった（韓国気象局）。 ・兵庫県の柏原では、7月30日に41.2°C、群馬県の伊勢崎では、8月5日に41.8°Cの日最高気温を観測し、日本の国内最高記録を連続で更新した（気象庁）。
② 大雨(6~8月)	中国	<ul style="list-style-type: none"> ・中国では、6~8月の大暑により190名以上が死亡したと伝えられた（EM-DAT）。 ・中国のペキン（北京）：6~8月の3か月降水量713mm（平年比203%）。
③ 大雨(11月)	東南アジア及びその周辺	<ul style="list-style-type: none"> ・フィリピン、ベトナムでは、11月の台風第25号、台風第26号の影響により、合計で410人以上が死亡したと伝えられた（欧州委員会、EM-DAT）。 ・ベトナム南部、タイ南部、マレーシア、インドネシアのスマトラ島、スリランカでは、11月の冬のモンスーン、サイクロン「SENYAR」、サイクロン「DITWAH」による大雨の影響で、合計で2,120名以上（12/22時点）が死亡したと伝えられた（欧州委員会、EM-DAT、世界気象機関、タイ政府、インドネシア政府、スリランカ政府）。 ・フィリピン北部のバギオ：11月の月降水量467mm（平年比485%）。 ・スリランカ南部のヌワラエリヤ：11月の月降水量760mm（平年比338%）。

	異常気象の種類 (発生月)	地域	概況
④	高温(4~7月)	中央アジア東部及びその周辺	<ul style="list-style-type: none"> ・パキスタンのイスラマバード国際空港:4月の月平均気温27.0°C(平年差+3.2°C)。 ・ウズベキスタンのタシケント:5月の月平均気温25.5°C(平年差+4.0°C)。 ・キルギスのビシュケク:6月の月平均気温26.4°C(平年差+3.5°C)。 ・カザフスタン南東部のアルマトイ:7月の月平均気温27.5°C(平年差+3.0°C)。 ・パキスタンの月平均気温は、4月としては1961年以降で2番目に高かった(パキスタン気象局)。
⑤	大雨(6~10月)	ネパール～パキスタン	<ul style="list-style-type: none"> ・ネパール、インド、パキスタンでは、6~10月の大雨により合計で1,710名以上が死亡したと伝えられた(欧州委員会、EM-DAT、ネパール政府、パキスタン政府)。 ・パキスタン北部のジェルム:6~8月の3か月降水量939mm(平年比190%)。 ・インド西部のプナー:9月の月降水量317mm(平年比228%)。 ・インド西部のインドール:10月の月降水量131mm(平年比430%)。
⑥	少雨(1~3、6月)	トルコ及びその周辺	<ul style="list-style-type: none"> ・トルコ南東部のディヤルバクル:1月の月降水量0mm(1月の月降水量平年値64.7mm)。 ・トルコ西部のアイドゥン:2月の月降水量18mm(平年比20%)。 ・トルコのアンカラ:3月の月降水量0mm(3月の月降水量平年値49.3mm)。 ・セルビアのベオグラード:6月の月降水量0mm(6月の月降水量平年値97.6mm)。 ・ルーマニアの月降水量は、6月としては1961年以降で最も少なかった(ルーマニア気象局)。 ・セルビアの月降水量は、6月としては1951年以降で最も少なかった(セルビア水文気象局)。

異常気象の種類 (発生月)	地域	概況
⑦ 高温(1、3、6~7、9、11月)	ヨーロッパ南東部～地中海東部周辺	<ul style="list-style-type: none"> ・ギリシャのアテネ:1月の月平均気温12.9°C(平年差+2.8°C)。 ・ブルガリアのソフィア:3月の月平均気温9.4°C(平年差+3.8°C)。 ・スロベニアのリュブリヤナ:6月の月平均気温24.2°C(平年差+3.7°C)。 ・ボスニア・ヘルツェゴビナのサラエボ:7月の月平均気温23.0°C(平年差+2.5°C)。 ・トルコ西部のイスパルタ:9月の月平均気温22.1°C(平年差+2.8°C)。 ・トルコのアンカラ:11月の月平均気温11.0°C(平年差+3.8°C)。 ・ルーマニアの月平均気温は、3月としては1901年以降で最も高かった(ルーマニア気象局)。 ・スロベニアの月平均気温は、6月としては1950年以降で最も高かった(スロベニア環境庁)。 ・セルビアの月平均気温は、6月としては1951年以降で最も高かった(セルビア水文気象局)。 ・トルコの月平均気温は、7月としては1971年以降で最も高かった(トルコ気象局)。 ・トルコ南東部のシロピ(Silopi)では、7月25日に50.5°Cの日最高気温を観測し、トルコの国内最高記録を更新した(トルコ気象局)。
⑧ 少雨(2~4、6、8月)	ドイツ及びその周辺	<ul style="list-style-type: none"> ・ドイツ北部のハンブルク:2月の月降水量5mm(平年比9%)。 ・ドイツ西部のデュッセルドルフ:3月の月降水量6mm(平年比11%)。 ・ドイツ北東部のバルト:4月の月降水量7mm(平年比24%)。 ・オーストリア北部のザルツブルク:6月の月降水量82mm(平年比44%)。 ・ドイツ西部のボン:8月の月降水量31mm(平年比38%)。 ・オランダの月降水量は、3月としては1906年以降で最も少なかった(オランダ気象局)。 ・スロベニアの月降水量は、6月としては1950年以降で最も少なかった(スロベニア環境庁)。
⑨ 高温(4、6~8月)	ヨーロッパ北部～地中海西部周辺	<ul style="list-style-type: none"> ・ノルウェーのオスロ:4月の月平均気温8.1°C(平年差+3.5°C)。 ・スペインのマドリード・ヘタフェ:6~8月の3か月平均気温27.7°C(平年差+2.5°C)。 ・スペインの月平均気温は、6、8月としては1961年以降で最も高かった(スペイン気象局)。 ・英国の夏(6~8月)の3か月平均気温は、夏としては1884年以降で最も高かった(英国気象局)。 ・スペインの夏(6~8月)の3か月平均気温は、夏としては1961年以降で最も高かった(スペイン気象局)。 ・ポルトガルの夏(6~8月)の3か月平均気温は、夏としては1931年以降で最も高かった(ポルトガル気象局)。
⑩ 大雨(4~8月)	中部アフリカ及びその周辺	<ul style="list-style-type: none"> ・中部アフリカ及びその周辺では、4~8月の大霖により合計で1,010人以上が死亡したと伝えられた(EM-DAT、国連人口基金)。

	異常気象の種類 (発生月)	地域	概況
⑪	高温(9~11月)	カナダ～メキシコ中部	<ul style="list-style-type: none"> ・カナダのアルバータ州エドモントン国際空港:9~11月の3か月平均気温5.5°C(平年差+2.7°C)。 ・米国のテキサス州ヒューストン:9~11月の3か月平均気温23.9°C(平年差+2.2°C)。 ・メキシコ中部のサンルイスポトシ:9~11月の3か月平均気温18.2°C(平年差+1.3°C)。 ・米国北西部の月平均気温は、9月としては1895年以降で最も高かった(米国海洋大気庁)。 ・米国南部の月平均気温は、11月としては1895年以降で最も高かった(米国海洋大気庁)。 ・米国南西部と米国北西部の秋(9~11月)の3か月平均気温は、秋としては1895年以降で最も高かった(米国海洋大気庁)。
⑫	多雨(7月)	米国テキサス州及びその周辺	<ul style="list-style-type: none"> ・米国のテキサス州サンアンジェロ:7月の月降水量141mm(平年比505%)。 ・米国テキサス州では、7月の大霖により130名以上が死亡したと伝えられた(欧州委員会、EM-DAT)。
⑬	高温(1~3月)	ブラジル南部～アルゼンチン北部	<ul style="list-style-type: none"> ・アルゼンチン北部のコルドバ:1月の月平均気温26.9°C(平年差+2.5°C)。 ・ウルグアイのモンテビデオ/カラスコ国際空港:2月の月平均気温24.1°C(平年差+1.9°C)。 ・ブラジル南部のパラナイバ:3月の月平均気温27.6°C(平年差+1.5°C)。 ・ウルグアイの月平均気温は、2月としては1981年以降で最も高かった(ウルグアイ気象局)。 ・アルゼンチンの月平均気温は、2月としては1961年以降で最も高かった(アルゼンチン気象局)。

- ◆ 異常気象：ある場所において 30 年に 1 回以下のまれな頻度¹で発生する現象を指します。本資料では月平均気温や月降水量から異常と判断した現象のうち、1 年の中で特に大きな被害や影響のあったものを、地理的広がりも考慮しつつ取り上げています。
- ◆ 災害情報：米国国際開発庁海外災害援助局及びルーベンカトリック大学災害疫学研究所（ベルギー）による災害データベース（EM-DAT）や各国政府機関、国連、欧州委員会等の発表に基づき、人的被害や経済的損失の大きさ、地理的広がりを考慮して取り上げています。

¹ 統計期間は 1991～2020 年の 30 年間。

※本資料は、世界各国の1～11月までの観測データ及び災害情報をもとに、速報としてまとめたものです。12月までの観測データによる資料は、令和8年1月中旬に気象庁の世界の異常気象のホームページ（下記URL）で発表します。

https://www.data.jma.go.jp/cpd/monitor/extreme_world/index.html

※世界の天候や異常気象に関する最新の情報は、気象庁ホームページでご覧になります。

【世界の天候】

<https://www.data.jma.go.jp/cpd/monitor/index.html>



【世界の天候】

【世界の異常気象】

https://www.data.jma.go.jp/cpd/monitor/extreme_world/index.html



【世界の異常気象】